

報 文  
 화학공학 제13권 제6호  
**HWAHAK KONGHAK**  
 J. of the KOREAN INST. CHEM. ENGRS.  
 Vol. 13, No. 6, December, 1975

## 燃料와 酸化劑가 環狀으로 供給될 때의 擴散火炎

盧 五 鈑

서울大學校 工科大學 航空工學科

(접수 1975. 10. 21)

## The Diffusion Flame from the Annular Arrangements of Fuel and Oxidizer

Ohyun Rho

Department of Aeronautical Engineering, College of Engineering  
Seoul National University, Seoul 130-02, Korea

(Received October 21, 1975)

### 要 約

環狀으로 燃料와 酸化劑가 供給될 때의 火炎모양을 Shvab-Zeldovich 理論을 適用하여 求観다. 火炎은 燃料의 量에 對한 酸化劑의 量의 比를 나타내는  $\omega$  값에 따라 酸化劑쪽에 생길수도 있고 燃料쪽에 생길수도 있다. 區間에 따라  $\omega$  값을 變化시키든지 또는  $\omega$  값을 固定시키고 區間의 幅을 調節함으로써 火炎의 높이를 均一하게 할 수 있다. 이 結果는 버너의 設計나 特히 우리나라 가정에서 널리 사용되고 있는 연탄의 理想的인 形態결정에도 利用될 수 있다.

### Abstract

The flame at the mouth of the annular tubes through which oxidizer and fuel are supplied is obtained by applying the Shvab-Zeldorich theory. The results reveal that the flame can occur either at oxidizer side or at fuel side. It depends on the parameter  $\omega$  which is proportional to the ratio of the amount of oxidizer to that of fuel. The result also indicates that the uniform flame height can be obtained either by varying the parameter  $\omega$  or by adjusting the spacing between the annular tubes. The present result can be applied for a burner design or especially for the determination of the economic structure of the holed briquet in domestic use.

## 1. 序 論

1928年 Burke 와 Shumann<sup>[1,2]</sup> 처음으로同心圓의 안쪽에서 燃料, 그리고 바깥 쪽에서 酸化劑가 供給될 때 火炎을 計算했다. 그 후 Shvab 와 Zeldovich<sup>[3]</sup>에 의하여一般的인 擴散火炎(diffusion flame)에 대한 空氣熱化學(aero-thermo-chemistry) 方程式을 利用한 數學的인 系統的叙述이 이루어졌다. 本論文에서는 擴散火炎의 一種으로 燃料와 酸化劑가 環狀으로 供給될 때의 火炎의 모양과 火炎높이를 Shvab-Zeldovich의 理論을 通して 求得了다. 이結果는 버너의 設計나 특히 우리나라가 정용 热源으로愛用되고 있는 연탄의 構造決定에 利用될 수 있다.

## 2. 擴散火炎에 대한 一般理論

理論은 空氣호름내에 化學反應이 일어나는 現象에 대한 것이므로 이러한 現象을 支配하는 空氣熱化學(aero-thermo-chemistry) 方程式<sup>[4,5]</sup>으로부터 始作된다. 定常狀態에서

- (1) body force를 無視한다.
- (2) Soret 및 Dufour 効果를 無視한다.
- (3) 粘性에 依한 영향을 無視한다.
- (4) 2成分系擴散으로 假定한다.
- (5) 루이스數(Lewis No.)를 1로 가정한다.

가정(1)의 body force는 地球重力에 依한 힘이며 강제호름(forced flow)에 있어서는 慣性力이나 壓力項에 比하여 보통 無視된다. 가정(2)의 Soret 効果는 局部의 温度句配에 依한 成分物質의 擴散이며 Dufour 効果는 濃度句配에 依한 热에너지의 호름이므로 Soret 數나 Dufour 數가 크지 않는 正常狀態下에서는 적은 量이다<sup>[5]</sup>. 假定(3)은 큰 레이놀즈數 호름에서 速度句配가 큰 同體表面附近에서는 重要的項이나 그외에서는 粘性에 依한 영향은 無視된다. 假定(5)는 보통 可燃性炭化水素, 空氣의 混合에서는 루이스數가 1보다 적은 값이나 1로 假定해도 現象이 定性的으로나 定量적으로나 크게 틀리거나 다르지 않다. 以上에서 例거한 假定을 適用하면 空氣熱化學 方程式은 다음과 같이 된다.

○全性分保存方程式(over-all continuity equation);

$$\nabla \cdot \rho v = 0 \quad (1)$$

○運動量保存方程式(momentum equation);

$$P = \text{一定} \quad (2)$$

假定(1), (3)을 適用하고 惯性力を 無視하면 運動量保存方程式은 윗 식(2)와 같이 된다.

○에너지保存方程式(energy equation);

$$\nabla \cdot \left[ \rho v \int_{T_0}^T c_p dT - \rho D c_p \nabla \int_{T_0}^T c_p dT \right] = - \sum_{i=1}^N \rho r_i h_i^o \quad (3)$$

○成分保存方程式(Species continuity equation);

$$\nabla \cdot (\rho v Y_i - \rho D \nabla Y_i) = \rho r_i \quad i=1, 2, \dots, N \quad (4)$$

○狀態方程式(equation of state);

$$P = \rho R T \sum_{i=1}^N \left( \frac{Y_i}{W_i} \right) \quad (5)$$

여기서  $v$ 는 流體의 호름의 速度,  $\rho$ 는 密度,  $P$ 는 壓力,  $T$ 는 溫度,  $Y_i$ 는 成分(species)  $i$ 의 무게分率(mass fraction,  $\frac{\rho_i}{\rho}$ ),  $W_i$ 는 成分  $i$ 의 分子量,  $h_i^o$ 는 成分  $i$ 의 溫度  $T_0$ 에서의 單位質量當生成熱(heat of formation),  $r_i$ 는 單位時間當 單位體積當 化學反應에 依하여 生成되는 成分  $i$ 의 生成率,  $D$ 는 2成分系擴散係數이다.  $C_p$ 는 全體比熱이므로  $C_p = \sum_{i=1}^N C_{pi} Y_i$ 이다.

化學反應이 單一段階(single reaction step)에 依하여 일어날 때 成分物質을  $M_i$ 로 나타내고 반응계수를  $\nu_i$ 로 표시하면 化學반응식을 다음과 같이 表記할 수 있다.

$$\sum_{i=1}^N \nu'_i M_i \rightarrow \sum_{i=1}^N \nu''_i M_i \quad (6)$$

모든 成分에 대하여

$$\frac{\rho r_i}{W_i(\nu''_i - \nu'_i)} = \rho r \text{의 關係가 成立하므로 이것}$$

을 (4)式과 (3)式에 代入하여 整理하면 각각 다음과 같이 된다.

$$L\alpha_i = \rho r \quad i=1, 2, \dots, N \quad (7)$$

$$L\alpha_T = \rho r \quad (8)$$

$$\text{여기서 } \alpha_i = - \frac{Y_i}{W_i(\nu''_i - \nu'_i)} \quad i=1, 2, \dots, N \quad (9)$$

$$\alpha_T = \frac{\int_{T_0}^T c_p dT}{-\sum_{i=1}^N W_i(\nu''_i - \nu'_i) h_i^o} \quad (10)$$

이고 微分演算子(differential operator)  $L$ 은

$$L \equiv \nabla \cdot (\rho v - \rho D \nabla) \quad (11)$$

을 意味한다.

反應物質이 燃料(fuel)와 酸化劑(oxidizer)일 때 一段階化學反應 (6)은

$$\nu_F M_F + \nu_O M_O \rightarrow \sum_{i=1}^{N-2} \nu_i M_i \quad (12)$$

로 되어 (9)式과 (10)式으로 定義한  $\alpha$ 는

$$\alpha_1 \equiv \alpha_o \equiv - \frac{Y_O}{W_O \nu_O}, \quad \alpha_2 \equiv \alpha_F \equiv - \frac{Y_F}{W_F \nu_F} \quad (13)$$

이고

$$\alpha_T = \frac{\int_{T_0}^T c_p dT}{W_o v_o h_o^0 + W_F v_F h_F^0} \quad (14)$$

이다. 그리고 式(7)은 다음과 같이 된다.

$$L\alpha_o = \rho r \quad (15)$$

$$L\alpha_F = \rho r \quad (16)$$

위 式(15)와 式(16)에서  $\rho r$  를 소거하면

$$L\beta = 0 \quad (17)$$

$$\text{여기서 } \beta = \alpha_o - \alpha_F = -\frac{1}{W_F v_F} \left( Y_F - \frac{W_F v_F}{W_o v_o} Y_o \right) \quad (18)$$

이다.

火炎의 決定은 火炎두께를 無視하면 燃料와 酸化劑의 두계分率의 比  $\frac{Y_F}{Y_o}$  가 量論比(stoichiometric ratio)가 될 때 化學反應이 일어나므로 成分保存方程式으로부터  $\frac{Y_F}{Y_o}$  가 바로 量論比가 되는 分布를 求하면 된다.換言하면 (17)式에서  $\beta$  를 求해시  $\beta$  를 零으로 하는  $\frac{Y_F}{Y_o}$  的 分布를 얻으면 된다. 왜냐하면

$$\beta = \alpha_o - \alpha_F = -\frac{1}{W_F v_F} \left( Y_F - \frac{W_F v_F}{W_o v_o} Y_o \right) = 0$$

로부터

$$\frac{Y_F}{Y_o} = \frac{W_F v_F}{W_o v_o} \quad (19)$$

가 되고 이것이 바로 量論比가 되기 때문이다.

$\frac{Y_F}{Y_o}$  的 分布와 溫度分布, 速度分布가 成分保存方程式, 에너지保存方程式과 全成分保存方程式을 通하여 結合(coupling)이 되어 있으므로 式(17)의 成分保存方程式만으로 求해질 수 없다. 그러니까  $\beta$ ,  $v$ ,  $T$  的 分布는 式(1), (2), (8), (17), 및 (5)를 同時에 풀지 않으면 안된다. 다음 節에서 지금까지 展開한 一般理論을 利用하여 酸化劑와 燃料가 環狀으로 供給될 때의 火炎모양을 일고자 한다.

### 3. 酸化剤와 燃料가 環狀으로 供給될 때의 擴散火炎

다음 Fig. 1에 나타낸 바와 같이 酸化剤와 燃料가 供給되며 座標系도 Fig. 1과 같이 設定된 境遇를 考慮하기로 한다.

$\beta$  的 分布를 求하기 위하여 (1), (2), (8), (17)과 (5)式을 同時에 풀어야 하나 다음과 같이 假定을 할 때, 火炎의 모양은 (17)式에서 求해진다.

(1) 燃料(fuel)와 酸化剤(oxidizer)가 Z-軸에 平行하게 供給된다. 即

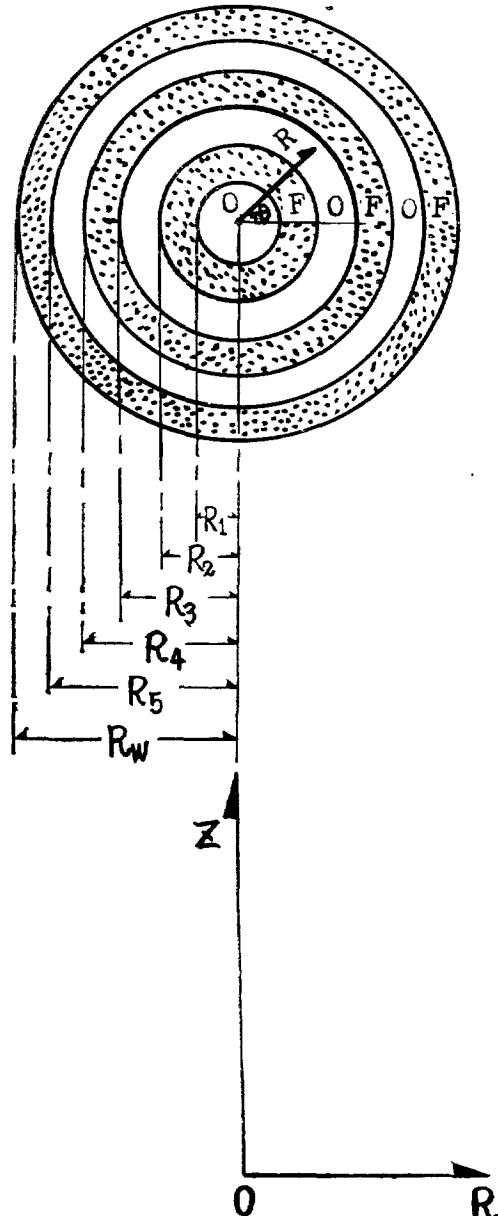


Fig. 1. Schematic diagram of the model and its coordinate system.

$$v = ve_x \quad (20)$$

$$(2) \rho v = \text{一定} \quad (21)$$

$$(3) \rho D = \text{一定} \quad (22)$$

(4) 軸方向의 擴散을 半徑方向의 擴散에 比하여 無視한다 ( $\frac{\partial Y_i}{\partial R} \gg \frac{\partial Y_i}{\partial Z}$ ).

(5) 火炎의 무게를無視한다.

假定(1)과(2)는理想的인假定이나實驗을注意깊게하면實現可能한것이고,假定(3)은이렇게假定함으로써成分保存方程式이에너지保存方程式으로부터獨立된다.假定(4)는燃料와酸化劑가供給되는入口에서는成立되지않으나入口에서멀어지면半徑方向의擴散이軸方向의擴散보다훨씬크다.그러니까假定(2)는全成分方程式을만족시키고假定(3)에依하여成分保存方程式이에너지方程式으로부터獨立되어가정(2)와成分保存方程式만을풀어서火炎의모양이얻어진다.

回轉對稱( $\frac{\partial}{\partial\theta}=0$ )을考慮하면成分保存方程式(17)

은Fig. 1에表示된座標系에대하여 다음과같이表示된다.

$$\frac{v}{D} \cdot \frac{\partial\beta}{\partial z} - \frac{1}{R} - \frac{\partial}{\partial R} \left( R \frac{\partial\beta}{\partial R} \right) = 0 \quad (22)$$

위식은포물선형의偏微分方程式이므로하나의初期條件와境界條件를要한다. Figure 1과같이環狀으로供給될때의初期條件와境界條件는다음과같다.

初期條件 :

$$Z=0 : 0 \geq R < R_1 ; \beta = \frac{Y_{F,O}}{W_{O}v_O} \quad (\text{산화제가 공급되는 구간})$$

$$R_1 < R < R_2 ; \beta = -\frac{Y_{F,O}}{W_{O}v_O} \quad (\text{연료가 공급되는 구간})$$

$$R_2 < R < R_3 ; \beta = \frac{Y_{F,O}}{W_{O}v_O} \quad (\text{산화제가 공급되는 구간})$$

$$R_3 < R < R_4 ; \beta = -\frac{Y_{F,O}}{W_{O}v_O} \quad (\text{연료가 공급되는 구간})$$

$$R_4 < R < R_5 ; \beta = \frac{Y_{F,O}}{W_{O}v_O} \quad (\text{산화제가 공급되는 구간})$$

$$R_5 < R < R_w ; \beta = -\frac{Y_{F,O}}{W_{O}v_O} \quad (\text{연료가 공급되는 구간}) \quad (23)$$

境界條件 :

$$\text{모든 } Z \text{에 대하여 } R=R_w, \quad \frac{\partial\beta}{\partial R}=0$$

모든Z에대하여R=0에서β가有限하다.

여기서Y<sub>O,O</sub>와Y<sub>F,O</sub>는Z=0에서各各酸化剤와燃料의무게分率의分布이다.

境界條件은外壁이固體面으로되어있어벽을通過하여燃料나酸化剤의擴散이일어나지않는다는것을意味한다.그러니까위의初期條件와境界條件는계일안쪽으로부터酸化剤,燃料,酸化剤,燃料,酸化剤,燃料順으로環狀으로供給되고外壁은固體面으로되어있는것을뜻한다.

(23)을通用하여(22)式을풀기에앞서(22)式과(23)式에서獨立變數Z와R,그리고從屬變數ξ를無次元화하여問題를一般화하는것이더보편적이다.

다음과같이독립변수를無次元화하고

$$\xi = \frac{R}{R_w}, \quad \zeta = \frac{ZD}{VR_w^2} \quad (24)$$

종속변수β를

$$\theta = \frac{W_F v_F}{Y_{F,O}} \beta \quad (25)$$

로無次元화하면(22)式과(23)式은다음과같이된다.

$$\frac{\partial\theta}{\partial\xi} = \frac{1}{\xi} - \frac{\partial}{\partial\xi} \left( \xi \frac{\partial\theta}{\partial\xi} \right) \quad (26)$$

初期條件 :

$$\begin{aligned} \zeta=0 \text{에서 } 0 &\leq \xi < \xi_1, \quad \theta=1 \\ \xi_1 &< \xi < \xi_2, \quad \theta=-\omega \\ \xi_2 &< \xi < \xi_3, \quad \theta=1 \\ \xi_3 &< \xi < \xi_4, \quad \theta=-\omega \\ \xi_4 &< \xi < \xi_5, \quad \theta=1 \\ \xi_5 &< \xi < 1, \quad \theta=-\omega \end{aligned} \quad (27)$$

境界條件: 모든ζ에對하여

$$\xi=1 \text{에서 } \frac{\partial\theta}{\partial\xi}=0$$

$\zeta=0$ 에서ξ는有限

$$\text{여기서 } \xi_i = \frac{R_i}{R_w} \text{고} \quad (28)$$

$$\omega = \frac{Y_{O,O}}{Y_{F,O}} \frac{W_F v_F}{W_O v_O} \quad (29)$$

이다.

(26)式을(27)을通用하여풀면그解는다음(30)式과같이주어진다.

$$\theta = A_o + \sum_{n=1}^{\infty} A_n e^{-\lambda_n \xi} J_o(\lambda_n \xi) \quad (30)$$

여기서 $\lambda_n$ 은特性值(eigen value)이며 $J_1(\lambda)=0$ 의根이다.

$A_o$ 와 $A_n$ 은다음(32),(33)式으로各各결정된다.

$$A_o = \frac{1}{2} \int_0^1 \theta(\xi, 0) \xi d\xi \quad (32)$$

$$A_n = \frac{2}{[J_o(\lambda_n)]^2} \int_0^1 \theta(\xi, 0) \xi J_o(\lambda_n \xi) d\xi \quad (33)$$

여기서 $\theta(\xi, 0)$ 는 $\zeta=0$ 에서의θ의값이며(27)式으로주어져있다.

#### 4. 火炎의 모양과 크기

火炎은 (30)式에서  $\theta$ 를 零으로 놓고  $\xi$ 과  $\zeta$ 의 關係式을 얻음으로서 결정된다. 火炎의 모양은 初期條件  $\theta(\xi, 0)$ 의 값에 따라 다르므로 여러  $\theta(\xi, 0)$ 값에 대하여 火炎의 모양을 計算하여 그 結果를 Fig. 2, 3, 4 및 5에 나타내었다. Figures 2와 3은 제일안쪽에서 부

터 산화제, 연료, 산화제, 연료로 되어 있을 때의 火炎의 모양이며 Fig. 2는 제일 안쪽의 산화제 공급구간의 半徑이 바깥 쪽의 燃料나 酸化劑가 공급되는 區間

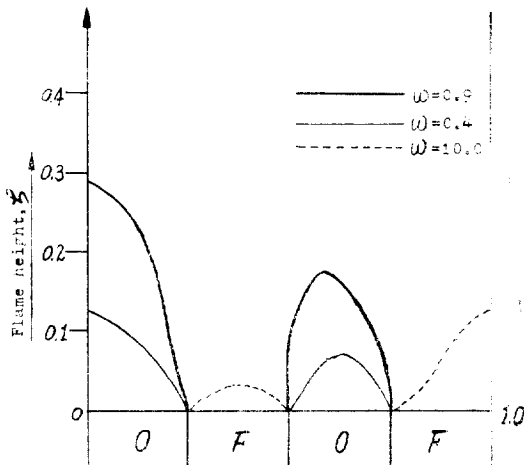


Fig. 2 Flame shape : Case A.

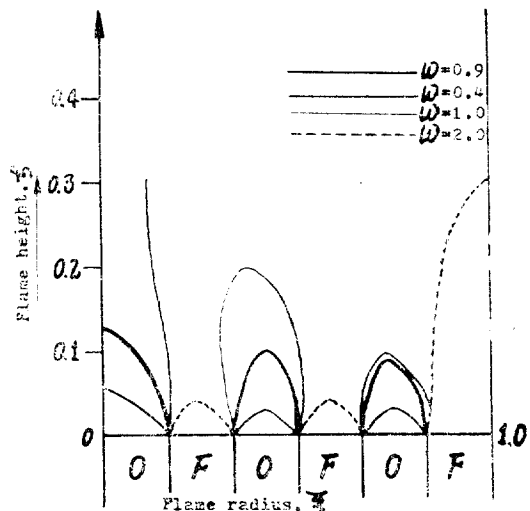


Fig. 4 Flame shape : Case C.

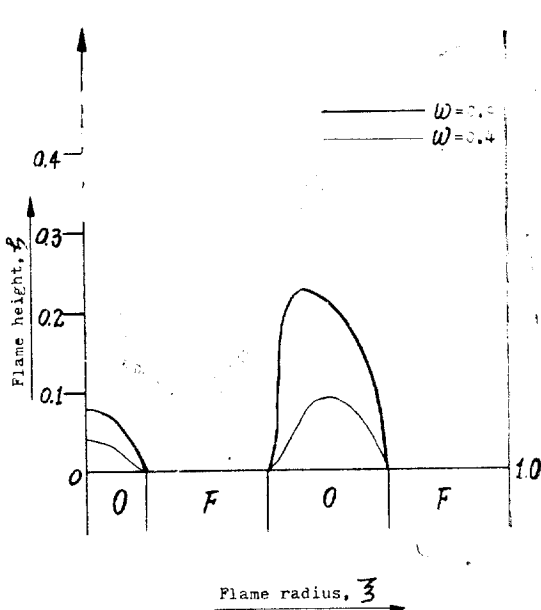


Fig. 3 Flame shape : Case B.

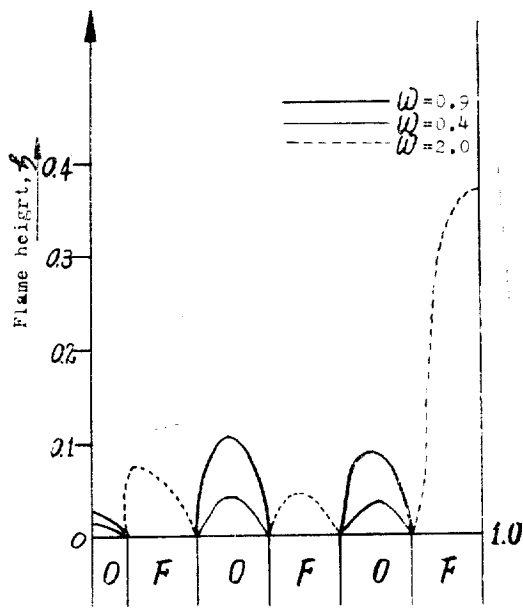


Fig. 5 Flame shape : Case D.

(gap)과 같을 때이고 Fig. 3은 제일 안쪽의 酸化劑공급구간의 半徑이 바깥쪽의 燃料와 酸化剤가 供給되는 區間의 半径 경우이다. 그림에서 알 수 있는 것과 같이 酸化剤가 적게 공급되는 區間에서는 火炎이 더 작다. Figures 4 및 5는 제일 안쪽에서부터 酸化剤, 燃料, 酸化剤, 燃料, 酸化剤, 燃料가 供給될 경우의 火炎의 모양이며 Fig. 4는 제일 안쪽의 酸化剤공급구간의 半徑이 바깥쪽의 燃料나 酸化剤의 幅과 같을 때이고 Fig. 5는 제일 안쪽의 酸化剤공급구간의 半徑이 바깥쪽의 燃料나 酸化剤의 幅이 半倍 때이다. Figure 4에서 알 수 있는 것과 같이 바깥쪽으로 갈수록 火炎의 높이가 줄어들고 있다. 初期條件 即  $\omega$  값을 區間에 따라 여러 값으로 변화시키는 것인데 이것은 燃料의 供給을 固定시키고 相對的으로 酸化剤의 供給量을 변화시키는 것이 된다. Figures 2, 4 및 5에서 알 수 있는 것과 같이  $\omega$  값을 增加 시킴에 따라 火炎이 酸化剤쪽에 생기다가 더 증가시키면 火炎은 燃料쪽에 생기게 된다. 火炎의 높이는 火炎이 생기는 區間에서 最大의 높이가 된다.

## 5. 結論

燃料와 酸化剤가 環狀으로 供給될 때의 火炎모양을 空氣熱化學方程式을 利用하여 求했으며 그 結果를 解析하여 다음과 같은 結論을 얻을 수 있었다.

(1) 燃料의 供給을 固定시키고 酸化剤의 供給을 점차로 增加시키면 처음에는 酸化剤쪽에 火炎이 생기면서 火炎높이가 점점 커지다가 酸化剤 供給을 더 增加시키면 火炎은 燃料쪽에 생긴다.

(2) 區間에 따라 酸化剤 供給을 달리 하거나 酸化剤 供給을 固定시키고 區間의 幅을 달리하면서 火炎의 모양과 높이를 調節할 수 있다.

(3) 버너(burner)의 設計나 特히 우리나라 가정용 热源으로愛用되고 있는 연탄의 構造決定에 利用될 수 있다. 이結果를 연탄의 構造決定에 利用할 경우에는 우선 本論文에서는 回轉對稱이 되도록 環狀으로燃料와 酸化剤가 供給되므로, 연탄의 구명사이의 간격이 구멍의 크기에 比하여 적을 경우에는 回轉對稱으로 가정할 수 있다. 그의 假定이 現想的인 關係로 定量的인 結果를 직접 연탄의 경우에 適用할 수는 없겠으나 定性的으로 利用할 수 있다. 例를 들면 Fig. 4에서 알 수 있는 바와 같이 바깥쪽으로 갈수록 화염의 높이가 줄어들고 있다. 火炎높이를 均一하게 하기 위하여서는 바깥쪽으로 갈수록 구멍을 크게 만들면 可能하다. 實驗을 하여 比較하여 보는 것이 바람직하다.

## 感 謝

火炎모양을 計算하는데 서울工大 電子計算室의 IBM 1130을 利用했고 大學院生 윤석관 군이 計算을 하는데 많은 手苦를 해주었음에 謝意를 表합니다.

## 참 고 문 헌

1. S. P. Burke and T. E. W. Shumann, *Ind. Eng. Chem.*, **20**(1928), 998.
2. Y. B. Zeldovich, *Zhur. Tekhn. Fiz.*, **19**, No. 10 (1949) English translation N. A. C. A. T. M. No. 1296(1950).
3. W. Nachbar, F. Williams and S. S. Penner, *Quart. Appli. Math.*, **17** (1959), 43-54.
4. J. D. Hirschfelder, C. F. Curtiss and R. B. Bird, "Molecular Theory of Gases and liquids", John-Wiley and Sons, N. Y.
5. H. H. Chiu, *Quart. Appli. Math.*, October, 1971.